

بررسی عوامل موثر در مقاومت فشاری ستون‌های بتونی محصور شده با FRP

علی خیرالدین^۱، حمیدرضا صالحیان^۲

۱- دانشیار دانشکده مهندسی عمران دانشگاه سمنان

۲- عضو هیات علمی گروه عمران دانشگاه آزاد اسلامی واحد سمنان

خلاصه

دور پیچ نمودن ستونهای بتونی با صفحات کامپوزیتی از جنس پلیمرهای مسلح شده با الیاف موسوم به ورقه‌های FRP از جمله شیوه‌های نوین در مقاوم سازی سازه‌ها محسوب می‌گردد. بخش وسیعی از تحقیقات در مورد رفتار ستونهای دور پیچ شده با FRP، به ستونهایی با مقطع مدور اختصاص دارد و اثر محصور کنندگی روپوش FRP در مقاطع مربعی و یا مستطیلی کمتر مورد توجه قرار گرفته است. در این تحقیق شش مدل ارائه شده توسط محققان برای محاسبه مقاومت فشاری بتون محصور شده با مقطع چهارضلعی انتخاب شده و عوامل موثر بر محصور شدگی ستونهای بتونی توسط FRP مورد مطالعه قرار گرفته است. نتایج این مدلها با مجموعه‌ای از نتایج آزمایشگاهی معتبر مقایسه گردیده است. این مقایسه نشان می‌دهد که هر یک از مدل‌های تحلیلی، به شرایط آزمایشگاهی مربوط به خود وابستگی دارند و با تغییر این شرایط احتمال پیش‌بینی مقادیر فاقد اطمینان و بالاتر از مقدار واقعی توسط این مدل‌ها وجود دارد. نتایج این تحقیق همچنین نشان می‌دهد عواملی همچون شعاع گردی گوشه‌های مقطع، نسبت ابعاد مقطع (نسبت طول به عرض) و ضخامت و کرنش گسیختگی FRP تاثیر بسزایی بر روی مقاومت فشاری ستونهای محصور شده بتونی دارند.

کلمات کلیدی: ستون بتونی محصور شده، مقطع چهارضلعی، ورقه‌های FRP، مقاومت فشاری

۱. مقدمه



شکل ۱- انهدام فشاری ستون

بتون آرمه بعلت کمانش
آرماتورهای طولی

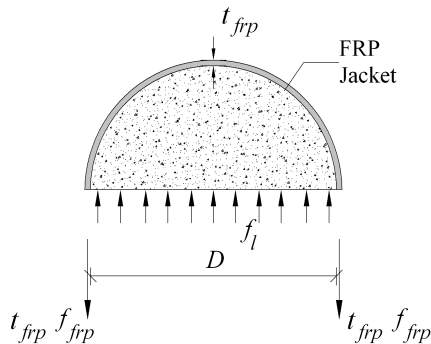
زلزله‌هایی که در سالهای اخیر در سراسر جهان به وقوع پیوسته است، نشان داد که بسیاری از سازه‌های زیربنایی بخصوص در کشورهای در حال توسعه به دلیل قدمت ساخت و عدم انطباق با آینده‌های جدید طراحی، نیازمند مقاوم سازی می‌باشند. در سازه‌های بتونی، فقدان آرماتور گذاری عرضی فشرده، به منظور محدود نمودن کمانش جانی آرماتورهای طولی ستون، از جمله ضعف‌های شایع در این اجزا به شمار می‌رود (شکل (۱)). برای رفع این مشکل باید به نحوی از انساط عرضی ستون و کمانش آرماتورهای طولی آن جلوگیری نمود. دور پیچ نمودن عضو فشاری بتونی یکی از شیوه‌های مقاوم سازی ستونهای بتونی است و نخستین مطالعات پیرامون آن در ابتدای قرن بیستم صورت پذیرفت. این مطالعات نشان داد که اعمال فشار جانی به بتون، سبب افزایش مشخصه‌های باربری آن می‌گردد [۱و۲]. ایجاد روکش فولادی به دور ستونهای بتونی اولین راهکار جهت محصور نمودن این اجزا بود و تاکنون مطالعات گستره‌های پیرامون رفتار ستونهای مقاوم سازی شده با این روش به انجام رسیده است. اما اثر نامطلوب شرایط محیطی بر روپوش‌های فولادی و مراحل دشوار و زمانی ایجاد این روپوش‌ها، سبب گردید که صفحات کامپوزیتی از جنس پلیمرهای مسلح شده با الیاف موسوم به ورقه‌های FRP به عنوان جایگزین روکشهای فولادی مورد استفاده قرار گیرند.

این شیوه بدليل ویژگی‌های مطلوب خود، در مدت کوتاه پیدایش، با استقبال زیادی مواجه شده و مطالعات فراوانی پیرامون آن به انجام رسیده است. نتایج این مطالعات نشان از تاثیر چشمگیر دور پیچ FRP در افزایش مقاومت فشاری ستون و بهبود دیگر مشخصه‌ای باربری این اجزا دارد [۳و۴].

2. تنش محصور کننده دوربیج FRP

هنگامی که یک ستون بتی محصور شده، تحت اثر فشار محوری قرار می‌گیرد، هسته بتی منبسط خواهد شد. این انساط و افزایش حجم جانبی، توسط دوربیج پیرامونی محدود می‌شود. از اینرو نوعی فشار جانبی غیر فعال از جانب روپوش به بتی میانی اعمال می‌گردد که به آن تنش فشاری محصور کننده گفته می‌شود. توزیع تنش فشاری محصور کننده، در مقاطع مدور کاملاً یکنواخت است. شکل (2) تبادل تنش‌های میان هسته مدور بتی و دوربیج پیرامون آنرا نشان می‌دهد. با توجه به تعادل تنش‌های وارد بر ماده دورگیر کننده و نیز با صرف نظر از تنش‌های مماسی راستای طولی نمونه ستون، می‌توان نوشت [5]:

$$f_l = \left(\frac{2}{D} \right) f_{frp} t_{frp} \quad (1)$$

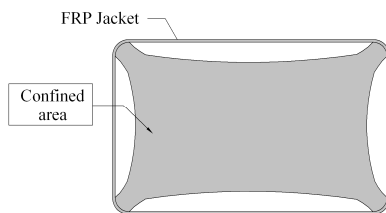


شکل 2- توزیع تنش وارد بر روپوش پیرامونی [5]

در رابطه (1)، f_l مکریم تنش فشاری محصور کننده‌ای است که از سمت دوربیج FRP به هسته مدور بتی با قطر D وارد می‌گردد. همچنین t_{frp} ضخامت دوربیج FRP و f_{frp} حداکثر تنش کششی FRP است و با رابطه (2) محاسبه می‌گردد. در این رابطه E_{frp} مدول الاستیسیته دوربیج FRP در راستای الیاف قرار گرفته به دور ستون و ϵ_{frp} کرنش نهایی FRP در کشش است [6].

$$f_{frp} = E_{frp} \epsilon_{frp} \quad (2)$$

اثر دوربیج FRP در بهبود ساخته‌های باربری ستونهای بتی محصور شده با مقطع چهار ضلعی کمتر از مقاطع مدور است [7 و 8]. در مقاطع چهار ضلعی فشار محصور کننده‌ای که از جانب دوربیج FRP به بتی میانی وارد می‌آید، به طور یکنواخت در کل مقطع ستون توزیع نمی‌شود [9]. شکل (3) نواحی محصور شده مقطع را نشان می‌دهد.



شکل 3- ناحیه محصور شده در ستون با مقطع چهار ضلعی [9]

3. کرنش نهایی دوربیج FRP

مقدار ϵ_{frp} با آزمایش سهمیه کششی مسطح¹ تعیین می‌گردد. مشاهدات آزمایشگاهی نشان می‌دهد که در لحظه گسیختگی، کرنش کششی اندازه‌گیری شده دوربیج کمتر از مقدار ϵ_{frp} است. لم و تنگ² [9] از رابطه (3) برای محاسبه کرنش گسیختگی ورقه‌های FRP دوربیج شده به دور نمونه ستونهای استوانه‌ای بهره گرفتند. در این رابطه $\epsilon_{h,rup}$ مقدار کرنش گسیختگی حلقوی دوربیج FRP است. k_e نیز ضریب کارآبی FRP است. مقدار این ضریب به جنس کامپوزیت FRP وابسته است.

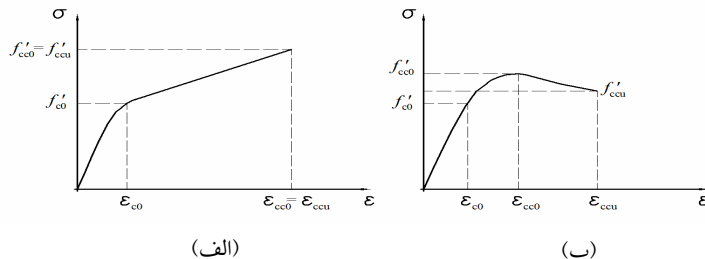
$$\epsilon_{h,rup} = k_e \epsilon_{frp} \quad (3)$$

¹ Flat coupon tensile test

² Lam and Teng

4. رفتار ستونهای بتنی محصور شده با FRP

مطالعات نشان داده است که نحوه تغییرات نمودار تنش-کرنش بتن محصور شده با FRP به نسبت ماکریم تنش محصور کننده دور پیچ (f_l)، به مقاومت فشاری هسته بتنی (f'_{c0}) بستگی دارد. بر این اساس دو گونه تغییرات در نمودار تنش-کرنش فشاری ستونهای بتنی محصور شده با FRP قابل انتظار است [10].



شکل 4- نمودار تنش کرنش بتن محصور شده با FRP، (الف) رفتار سخت شونده، (ب) رفتار نرم شونده [10]

اگر مقطع ستون به حد کافی تحت اثر فشار محصور کننده قرار گیرد، ستون رفتاری سخت شونده¹ خواهد داشت. منحنی تغییرات تنش-کرنش بتن محصور شده در این حالت، همانند شکل (4-الف) با تقریب خوبی دوخطی و همراه با دو شاخه صعودی است. در این شکل f'_{cc0} مقاومت فشاری بتن محصور شده و برابر با f'_{ceu} ، تنش گسیختگی بتن است. در این نمودار کرنش گسیختگی بتن، ϵ_{ceu}^4 ، برابر با کرنش نظری مقاومت فشاری محصور شده² است. در حالتی که مقدار تنش فشاری محصور کننده دور پیچ کافی نباشد، ستون رفتاری نرم شونده³ از خود نشان می‌دهد و نمودار تنش-کرنش فشاری آن مطابق شکل (4-ب) می‌گردد. این نمودار تا مقدار تنش بیشینه به طور صعودی تغییر می‌کند و پس از آن با تغییراتی نزولی به نقطه گسیختگی می‌رسد. آزمایش‌های راچت و لا بوسیر⁴ [11] نشان داد هنگامی که ماکریم تنش محصور کننده (f_l) بیش از 20٪ مقاومت فشاری هسته بتنی (f'_{c0}) باشد، رفتار سخت شونده از ستون قابل انتظار است. در غیر اینصورت ستون دور پیچ شده رفتاری نرم شونده از خود نشان می‌دهد. آزمایشات زیالو و وو⁵ [12] بر روی نمونه ستونهای استوانه‌ای محصور شده با CFRP نیز نشان داد در صورتی که حاصل $(2t_{frp}E_{frp})/(Df'_{c0}^2)$ بزرگتر از 0/18 گردد، رفتار ستون محصور شده از نوع سخت شونده می‌باشد. در این رابطه D قطر مقطع مدور بتنی است.

5. روش‌های تعیین مقاومت فشاری ستون بتنی محصور شده با FRP با مقطع چهارضلعی

مدل‌های متعددی برای محاسبه مقاومت فشاری ستونهای بتنی محصور شده با مقطع چهارضلعی ارائه شده است. در این مدل‌ها مقاومت فشاری بتن محصور شده در مقطع چهارضلعی با روابط تجربی به ابعاد مقطع، شاعر گردی گوشها، مقاومت فشاری هسته بتنی (f'_{c0}) و سختی دور پیچ FRP وابسته شده است. در این مقاله 6 روش محاسبه مقاومت فشاری ستونهای دور پیچ شده با FRP و با مقطع چهارضلعی، که توسط میرمیران و همکارانش، پاتلیدیس و یان، السلیمان، لم و تنگ، ایلکی و همکارانش و وو و ونگ ارائه گردیده است، مورد بررسی قرار گرفته است.

1-5. مدل میرمیران و همکاران

میرمیران و همکارانش⁶ [13] رابطه (4) را برای محاسبه مقاومت فشاری بتن محصور شده پیشنهاد نموده‌اند. در این رابطه f_r تنش محصور کننده FRP است و با رابطه (5) محاسبه می‌شود.

¹ Hardening behavior

² Softening behavior

³ Rochette and Labossiere

⁴ Xiao and Wu

⁵ Mirmiran et al.

$$f'_{cc0} = \left(1 + 6.0 \frac{f_l^{0.7}}{f_{c0}'} \right) f_{c0}' \quad \text{for } MCR \geq 0.15 \quad (4)$$

$$f_l = k_s k_\varepsilon E_{frp} \epsilon_{frp} t_{frp} \quad (5)$$

در رابطه (5)، k_ε ضریب کارآیی دورپیچ FRP و k_s نیز ضریب شکل مقطع است. در مدل میرمیران و همکارانش ضریب شکل مقطع با رابطه (6) تعریف می‌گردد. همچنین مقدار k_ε نیز برابر واحد می‌باشد.

$$k_s = \frac{4r}{a^2} \quad (6)$$

مطالعات میرمیران و همکارانش نشان داد که فقط هنگامی که ضریب اصلاح محصورشدنگی (MCR) بیش از 15٪ باشد، تاثیر دورپیچ FRP در افزایش مقاومت فشاری ستون محسوس خواهد بود. این ضریب با رابطه (7) تعریف می‌گردد و تابعی از شاعع گردی گوشه‌ها (r)، طول ضلع بزرگتر مقطع (a) و نسبت تنش محصور کننده به مقاومت فشاری هسته بتنی (f_l / f_{c0}') است.

$$MCR = \left(\frac{2r}{a} \right) \left(\frac{f_l}{f_{c0}'} \right) \geq 0.15 \quad (7)$$

2-2. مدل پانتلیدیس و یان

پانتلیدیس و یان¹ [14] در مدل پیشنهادی خود، مقدار 0/0 برای نسبت تنش محصور کننده به مقاومت فشاری هسته بتن را مرز میان رفتار سخت-شونده و یا نرم شونده ستون محصور شده فرض نموده و به ترتیب روابط (8) و (9) را برای هر یک از این دو نوع رفتار پیشنهاد نموده‌اند:

$$f'_{cco} = \left(-4.322 + 4.271 \sqrt{1 + 4.193 \frac{f_l}{f_{c0}'}} - 2 \frac{f_l}{f_{c0}'} \right) f_{c0}' \quad \frac{f_l}{f_{c0}'} \geq 0.2 \quad (8)$$

$$f'_{cco} = MAX \left[\begin{array}{l} \left(-4.322 + 4.271 \sqrt{1 + 4.193 \frac{f_l}{f_{c0}'}} - 2 \frac{f_l}{f_{c0}'} \right) f_{c0}', f_{c0}' \\ 0.0768 \ln \left(\frac{f_l}{f_{c0}'} \right) + 1.122 \end{array} \right] \quad \frac{f_l}{f_{c0}'} < 0.2 \quad (9)$$

در این مدل، فشار محصور کننده با جایگذاری مقدار 0/5 برای ضریب کارآیی دورپیچ FRP (k_ε) در رابطه (5) محاسبه می‌گردد. مقدار ضریب شکل در رابطه مذکور نیز بصورت زیر بدست می‌آید.

$$k_s = \left(1 - \frac{(a-2r)^2 + (b-2r)^2}{3ab} \right) \left(\frac{(a+b)}{ab} \right) \quad (10)$$

3-3. مدل السلیوم

در مطالعات السلیوم² [15] رابطه (11) برای محاسبه مقاومت فشاری ستونهای بتنی محصور شده پیشنهاد شده است. در این مدل تنش محصور کننده با جایگذاری مقدار k_ε برابر با واحد در رابطه (5) محاسبه خواهد شد.

$$f'_{cc0} = \left(1 + 3.14 \frac{f_l}{f_{c0}'} \right) f_{c0}' \quad (11)$$

ضریب شکل مقطع نیز با رابطه (12) محاسبه می‌شود. در این رابطه R ، وتر مقطع مربعی است و با رابطه (13) محاسبه می‌شود.

$$k_s = \left(\frac{2a}{R^2} \right) \left(1 - \frac{2}{3} \left[\frac{(1-2(r/a))^2}{1-(4-\pi)(r/a)^2} \right] \right) \quad (12)$$

$$R = \sqrt{2}a - 2r(\sqrt{2}-1) \quad (13)$$

¹ Pantelides and Yan

² Al-Salloum

4-5. مدل لم و تنگ

رابطه پیشنهادی در مدل لم و تنگ [9] به منظور محاسبه مقاومت فشاری ستون بتی محصور شده با مقطع چهارضلعی بصورت زیر است:

$$f'_{cc0} = \left(1 + 3.3 \frac{f_l}{f'_{c0}} \right) f'_{c0} \quad (14)$$

در این مدل، تنش فشاری محصور کننده با جایگذاری مقادیر 0/568 برای ضریب کارآیی دوربیج FRP و محاسبه ضریب شکل مقطع به کمک رابطه (15) قابل محاسبه است.

$$k_s = \left(\frac{b}{a} \right)^2 \left(\frac{2}{\sqrt{a^2 + b^2}} \right) \left[\left(1 - \frac{(b/a)(a-2r)^2 + (a/b)(b-2r)^2}{3(ab - (4-\pi)r^2)} \right) \right] \quad (15)$$

5-5. مدل ایلکی و همکاران

ایلکی و همکارانش¹ [16] در مطالعات خود پیرامون رفتار ستونهای بتی محصور شده با FRP رابطه زیر را برای تخمین مقاومت فشاری بتن محصور شده پیشنهاد نموده اند:

$$f'_{cc0} = \left(1 + 2.54 \frac{f_l}{f'_{c0}} \right) f'_{c0} \quad (16)$$

در این مطالعه مقدار ضریب کارآیی دوربیج FRP (k_e) برابر با 0/85 فرض شده است. همچنین ضریب شکل مقطع به کمک رابطه (17) محاسبه می شود.

$$k_s = \left(\frac{a+b}{ab} \right) \left[1 - \left(\frac{(b/a)(a-2r)^2 + (a/b)(b-2r)^2}{3(ab - (4-\pi)r^2)} \right) \right] \quad (17)$$

6-5. مدل وو و ونگ

در مدل پیشنهاد شده توسط وو و ونگ² [17] مقاومت فشاری ستون از رابطه (18) به دست آمده است. در این رابطه b طول ضلع کوچکتر و r شعاع گردی گوشه های مقطع است.

$$f'_{cc0} = \left(1 + 2.16 \left(\frac{2r}{b} \right)^{0.651} \left(\frac{f_l}{f'_{c0}} \right)^{0.955} \right) f'_{c0} \quad (18)$$

در این مدل مقدار ضریب کارآیی دوربیج FRP (k_e) برابر با واحد فرض شده است. ضریب شکل نیز به صورت زیر محاسبه می گردد:

$$k_s = \left(\frac{2}{b} \right) \quad (19)$$

6. نتایج آزمایشگاهی

با توجه به آنکه هریک از مدل های ارائه شده پیشین بر اساس شرایط خاص آزمایشگاهی تدوین گردیده اند، در نظر است تا با مقایسه نتایج حاصل این روابط با نتایج آزمایشگاهی دیگر محققان، امکان تعیین روابط یاد شده مورد ارزیابی قرار گیرد. بدین منظور مجموعه ای بیست و شش تابی از نتایج مطالعات آزمایشگاهی پیرامون رفتار ستونهای بتی محصور شده با FRP و با مقطع چهارضلعی، گردآوری شده است. پروین و ونگ³ [18]، روچت و لا بوسیر [11]، ال سلیمان [15]، کوموتا و همکاران⁴ [19] و شهاتا و همکاران⁵ [20] از جمله محققانی هستند که در مطالعات آزمایشگاهی خود مقاومت فشاری ستونهای محصور شده با FRP و با مقطع چهار گوش را اندازه گیری نموده اند. جزئیات هر یک از آزمایشها در

¹ Ilki et al.

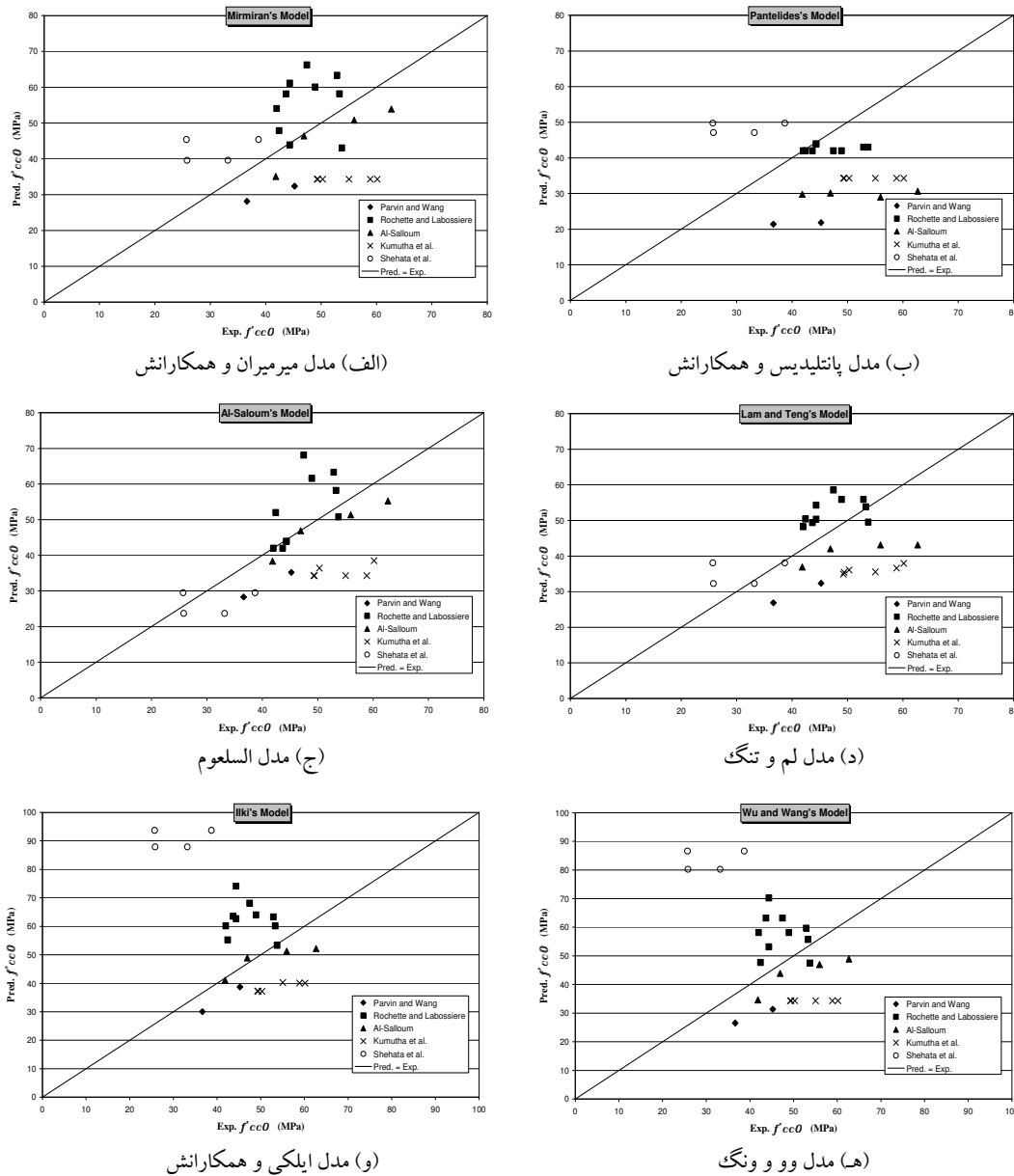
² Wu and Wang

³ Parvin and Wang

⁴ Kumutha et al.

⁵ Shehata et al.

جدول (۱) قابل مشاهده است. در این مجموعه نسبت بعد بزرگ مقطع نمونه های آزمایشگاهی به بعد کوچک آن از ۱ تا ۲ تغییر می نماید. همچنین نسبت شعاع گردی گوشه ها به بعد کوچک مقطع از ۰ تا ۳۳٪ متغیر است. دامنه تغییرات مقاومت فشاری هسته بتی نیز از ۲۱/۴ مگاپاسکال تا ۴۹/۳ مگاپاسکال است. در مجموعه نتایج آزمایشگاهی گردآوری شده پوشش پر امون ستون از سه نوع الاف کربنی (CFRP)، شیشه ای (GFRP) و آرامیدی (AFRP) با مدل الاستیسیته متغیر از ۱۰/۵ گیگاپاسکال تا ۲۳۵ گیگاپاسکال می باشد. در نمودارهای شکل (۵) مجموعه نتایج آزمایشگاهی با مقادیر پیش بینی شده با مدل های میرمیران، پانتلیدیس، السلوم، لم و تنگ مقایسه شده است.



شکل ۵ - مقایسه مقاومت فشاری نمونه ستونهای محصور شده آزمایشگاهی با نتایج پیش بینی مدل ها



جدول ۱- جزئیات و نتایج مطالعات آزمایشگاهی انجام گرفته بر روی نمونه سطونهای بتی محصور شده با FRP

Authors	Specimens	a (mm)	b (mm)	h (mm)	r (mm)	a/b	r/b (%)	f'_{c0} (MPa)	FRP Type	E_{frp} (GPa)	ε_{frp}	t_{frp} (mm)	f_{frp} (MPa)	f'_{cc} (MPa)
Parvin and Wang	C10	108	108	305	8.26	1	7.6	21.4	CFRP	188.9	0.016	0.138	417	36.63
	C20	108	108	305	8.26	1	7.7	21.4	CFRP	188.9	0.016	0.268	834	45.23
Rochette and Labossiere	S5C3	152	152	500	5.0	1	3.3	42	CFRP	82.7	0.015	0.90	1117	42.42
	S25C3	152	152	500	25.0	1	16.4	42	CFRP	82.7	0.015	0.90	1117	48.93
	S38C3	152	152	500	38.0	1	25	42	CFRP	82.7	0.015	0.90	1117	47.46
	S5A9	152	152	500	5.0	1	3.3	43	AFRP	13.6	0.017	3.78	869	53.75
	S25A9	152	152	500	25.0	1	16.4	43	AFRP	13.6	0.017	3.78	869	53.32
	S38A9	152	152	500	38.0	1	25	43	AFRP	13.6	0.017	3.78	869	52.89
	R25C3	203	152	500	25.0	1.34	12.3	42	CFRP	82.7	0.015	0.90	1116	42.00
	R38C3	203	152	500	38.0	1.34	18.7	42	CFRP	82.7	0.015	0.90	1116	43.68
	R5C5	203	152	500	5	1.34	3.3	43.9	CFRP	82.7	0.015	1.50	1860	44.34
	R25C4	203	152	500	25	1.34	16.4	43.9	CFRP	82.7	0.015	1.50	1860	44.34
Al-Salloum	S-r5	150	150	500	5	1	3.3	29.81	CFRP	75.1	0.010	1.2	935	41.84
	S-r25	150	150	500	25	1	16.7	30.16	CFRP	75.1	0.010	1.2	935	46.92
	S-r38	150	150	500	38	1	25.3	29.00	CFRP	75.1	0.010	1.2	935	55.96
	S-r50	150	150	500	50	1	33.3	27.49	CFRP	75.1	0.010	1.2	935	62.68
Kumutha et al.	1S ₁	125	125	750	0	1	0	34.31	GFRP	10.5	0.035	0.68	250	50.30
	2S ₁	125	125	750	0	1	0	34.31	GFRP	10.5	0.035	1.36	500	60.16
	1R _{1.25}	139.8	111.8	750	0	1.25	0	34.31	GFRP	10.5	0.035	0.68	250	49.41
	2R _{1.25}	139.8	111.8	750	0	1.25	0	34.31	GFRP	10.5	0.035	1.36	500	58.88
	1R _{1.66}	161	97	750	0	1.66	0	34.31	GFRP	10.5	0.035	0.68	250	49.28
	2R _{1.66}	161	97	750	0	1.66	0	34.31	GFRP	10.5	0.035	1.36	500	55.04
Shehata et al.	R1	188	94	300	10	2	10.6	23.7	CFRP	235	0.091	0.165	3550	25.81
	R2	188	94	300	10	2	10.6	23.7	CFRP	235	0.046	0.33	3550	33.20
	R3	188	94	300	10	2	10.6	29.5	CFRP	235	0.091	0.165	3550	25.71
	R4	188	94	300	10	2	10.6	29.5	CFRP	235	0.046	0.33	3550	38.7

7. تحلیل نتایج مدل و نتایج آزمایشگاهی

برای مقایسه میزان خطای هر مدل نسبت به نتایج آزمایشگاهی، از روش پیشنهاد شده توسط کاسون و پائولتر¹⁵ [نقل از 21] و مطابق با رابطه (20) استفاده می شود. در جدول (2) میزان خطای هر مدل نسبت به نتایج آزمایشگاهی آمده است.

$$Error = \sqrt{\sum \left(\frac{Experimental - Predicted}{Experimental} \right)^2} \quad (20)$$

جدول 2- مقدار خطای مدلها نسبت نتایج آزمایشگاهی

E (%)	Parvin and Wang	Rochette and Labossiere	Al-Salloum	Kumutha et al.	Shehata et al.	All Specimens
Mirmiran et al.	37	80	23	89	97	160
Pantelides and Yan	66	38	83	89	135	197
Al-Salloum	32	60	17	84	41	117
Lam and Teng	39	48	42	81	54	122
Ilki et al.	23	120	19	69	418	442
Wu and Wang	41	96	33	89	368	395

نمودارهای شکل (5) و مقادیر مندرج در جدول (2) نشان می دهد که به جز مدل ارائه شده توسط لم و تنگ و السلعوم، سایر مدلها مقاومت فشاری بالاتر از نتایج آزمایشگاهی شهات، داده اند. در آزمایش شهاتا نمونه ستونهای بیشترین نسبت طول به عرض را در میان سایر نمونه ها دارا می باشد. کمترین خطای مربوط به پیش بینی مدل السلعوم در مورد مقاومت فشاری نمونه ستونهای آزمایش شده توسط همین محقق است. این موضوع به دلیل استخراج مدل ارائه شده توسط محقق نامبرده از نتایج آزمایشگاهی اش، قابل انتظار است. اما نکه قابل تأمل آن است که دیگر مدل ها نیز مقاومت فشاری نمونه ستونهای مربعی در آزمایش السلعوم را با دقت بهتری پیش بینی نیز مربوط به مدل ایلکی و همکارانش و مدل وو و ونگ است. نتایج پیش بینی این مدل ها در بیشتر موارد بیش از نتایج آزمایشگاهی و فاقد اطمینان است. در این مدل ها ضریب کارآبی دوربیچ FRP به ترتیب برابر ۰/۸۵ و ۰/۱ در نظر گرفته شده اند. پاسخهای فاقد اطمینان این دو مدل در نمونه ستونهای آزمایش روچت و لاپوسیر مشهود تر است. در این نمونه ستون ها مقاومت فشاری هسته بتنی (c'_t) بزرگتر از سایر نمونه هاست. این در حالی است که نتایج مدل پانتلیدیس و یان در مقایسه با سایر آزمایشات، مقاومت فشاری نمونه ستونهای محصور شده در آزمایش روچت و لاپوسیر را با خطای کمتری داده اند.

8. نتیجه گیری

در این مقاله شش مدل پیشنهاد شده توسط محققان مختلف برای تعیین مقاومت فشاری بتون محصور شده با FRP در ستونهای با مقطع چهارضلعی انتخاب شده است. هدف اصلی بررسی دقت نتایج حاصل از این مدل ها با تغییر شرایط آزمایشگاهی است. از اینرو مجموعه ای از مطالعات آزمایشگاهی انتخاب گردید. نمونه ستون ها در این آزمایش ها از نظر شکل و نسبت ابعاد، مقاومت فشاری هسته بتنی و سختی دوربیچ پیرامونی متنوع می باشند. در این تحقیق مشخص گردید که مدل های انتخاب شده، مقاومت فشاری ستونهای محصور شده با مقطع مربعی را با دقت خوبی پیش بینی می نمایند. همچنین کاهش پنجاه درصدی ضریب کارآبی دوربیچ FRP در مدل لم و تنگ سبب تقارب مناسب پاسخهای این مدل با نتایج آزمایشگاهی شده است. کاهش ضریب کارآبی FRP بخصوص با افزایش نسبت ابعاد مقطع ضروری به نظر می رسد. میانگین خطای کلی مدل ها در تخمین مقاومت فشاری بتون محصور شده با FRP و با مقطع چهارضلعی نشان دهنده وابستگی مدل ها به شرایطی است که تحت آن بررسی گردیده اند. از اینرو ضرورت مطالعه بیشتر جهت استخراج روابط کلی تر در خصوص تاثیر پارامترهای ابعادی ستون و ویژگی های مکانیکی دوربیچ پیرامون آن در مقاومت فشاری ستونهای بتنی محصور شده با FRP همچنان احساس می گردد.

¹⁵ Cusson and Paultre

۹. مراجع

1. اصفهانی، م. ر.، صالحیان، ح. ر.، (1384)، "بررسی رفتار ستونهای بتن آرمه تقویت شده با دوربیچ CFRP تحت اثر نیروی برون محور"، نشریه دانشکده فنی، 39 (5)، صفحه 559-569.
2. Kheyroddin, A. and Naderpour, H., (2008), "Nonlinear finite element analysis of composite RC shear walls", Iranian Journal of Science & Technology, 32(B2), pp 79-89.
3. صالحیان، ح. ر.، اصفهانی، م. ر.، (1382)، "بررسی رفتار ستونهای بتن آرمه دوربیچ شده با کامپوزیت CFRP تحت اثر بار برون محور"، دومن همایش بین المللی بتن و توسعه، تهران، ایران.
4. Kheyroddin, A., Hoseynie vaez, S. R., Naderpour, H., (2007), "Numerical analysis of slab-column connections strengthened with carbon fiber reinforced polymers", Journal of Applied Sciences, 8(3), pp 420-431.
5. Purba, B.K. and Mufti, A.A., (1999), "Investigation of the behavior of circular concrete columns reinforced with carbon fiber reinforced polymer (CFRP) jackets", NRC Canada (<http://cjce.nrc.ca>).
6. خیرالدین، ع.، نادرپور، ح.، حسینی واعظ، س. ر. (1387)، "مدلی برای پیش‌بینی نحوه تاثیر صفحات FRP بر محصور شدنگی ستونهای پل بتن آرمه" ، سومین کنفرانس بین المللی پل، تهران، ایران.
7. خیرالدین، ع.، نادرپور، ح.، حسینی واعظ، س. ر. (1387)، "بررسی تاثیر محصور کنندگی صفحات FRP در شکل پذیری اعضای بتن آرمه" ، چهارمین کنگره ملی مهندسی عمران، تهران، ایران.
8. Kheyroddin, A., Naderpour, H., Hoseynie vaez, S. R., (2008), "Numerical evaluation of nonlinear response of reinforced concrete structures strengthened with CFRP wrap", 6Th International Structural Specialty Conference, 2008 CSCE Annual Conference, Québec City, Québec, Canada.
9. Lam, L. and Teng, J.G., (2003), "Design-oriented stress-strain model for FRP-confined concrete in rectangular columns", Journal of Reinforced Plastics and Composites, 22 (13), pp 1149-1186.
10. L. Lam and J.-G Teng (2003), "Design-oriented stress-strain model for FRP-confined concrete", Elsevier: Construction and Building Materials, 17, pp 471-489, (www.elsevier.com/locate/combuildmat).
11. Rochette, P. and Labossiere, P., (2000), "Axial testing of rectangular column models confined with composites", Journal of Composites for Construction, 4 (3), pp 129-136.
12. Xiao, Y. And Wu, H. (2000), "Compressive behavior of concrete confined by carbon fiber composite jackets", Journal of Materials in Civil Engineering, 12 (2), pp 139-146.
13. Mirmiran, A., Shahawy, M., Samman, M., Echary, H., Mastrapa, J. C. and Pico, O., (1998), "Effect of column parameters on FRP-confined concrete", Journal of Composites for Construction, 2 (4), pp 175-185.
14. Pantelides, C. P., Yan, Z., (2007), "Confinement model of concrete with externally bonded FRP jackets or post tensioned FRP shells", Journal of Structural Engineering, Vol. 133 (9), pp 1288-1296.
15. Al-Salloum, Y. A., (2007), "Influence of edge sharpness on the strength of square concrete columns confined with FRP composite laminates", Elsevier: Composites, Part B: engineering, 38, pp 640-650, (www.elsevier.com/locate/compositesb).
16. Ilki, A., Peker, O., Karamuk, E., Demir, C. and Kumbasar, N., (2008), "FRP retrofit of low and medium strength circular and rectangular concrete columns", Journal of Materials in Civil Engineering, 20(2), pp 169-188.
17. Wu, Y. F. and Wang, L. M., (2008), "A unified model for the compressive strength of FRP-confined square and circular concrete columns", Forth International conference on FRP composites in civil Engineering (CICE2008), Zurich, Switzerland.
18. Parvin, A. and Wang, W., (2001) "Behavior of FRP jacketed concrete columns under eccentric loading" Journal of Composites for Construction, 5(3), pp 146-152.



19. Kumutha, R., Vaidyanathan, R. And Palanichamy, M. S., (2007), “*Behavior of reinforced concrete rectangular columns strengthened using GFRP*”, Elsevier: Cement & Concrete Composites 29, pp 609-615, (www.elsevier.com/locate/cemconcomp).
20. Shehata, I.A.E.M., Carneiro, L.A.V. and Shehata, L.C.D. (2002), “*Strength of short columns confined with CFRP sheets*”, Journal of Material and Structures, 35(1), pp 50-58.
21. Debaiky, A. S., Mark, F. G. and Hope, B. B., (2007), “*Modeling of corroded FRP-wrapped reinforced concrete columns in axial compression*”, Journal of Composites for Construction, 11 (6), pp 556-564.